

エッジ環の pseudo-Gorenstein 性について

東京大学 大学院数理科学研究科
松下光虹 (Koji MATSUSHITA) *

概要

標準的次数付き環において、その h 多項式は重要な不变量であり、次数付き環の様々な性質を反映する。 h 多項式の最高次係数が 1 であるような次数付き環を pseudo-Gorenstein といい、これは Gorenstein の一般化になっている。本講演は、エッジ環と呼ばれるグラフから生起する次数付き環の pseudo-Gorenstein 性について議論する。

本講演は、畠佐悠太氏と小脇修和氏との共同研究 [11] に基づく。

1 導入

以下、 \mathbb{k} は体とする。 $R = \bigoplus_{k \geq 0} R_k$ を、 $R_0 = \mathbb{k}$ である Cohen–Macaulay 整域な標準的次数付き環とする。このとき、 R は正準加群を持つので、それを ω_R とおく。

R の Hilbert 級数とは、 $\sum_{k \geq 0} (\dim_{\mathbb{k}} R_k) t^k$ で定義される級数であり、 R が標準的次数付き環なので、次の形に書き下せる：

$$\sum_{k \geq 0} (\dim_{\mathbb{k}} R_k) t^k = \frac{h_0 + h_1 t + \cdots + h_s t^s}{(1-t)^{\dim R}}.$$

ここで、 $h_s \neq 0$ とする。分子に現れる多項式 $h_0 + h_1 t + \cdots + h_s t^s$ は R の h 多項式といい、その係数列 (h_0, h_1, \dots, h_s) を R の h 列という。また、このときの s を socle 次数という。 a を R の a 不变量、つまり、 $a := -\min\{j : (\omega_R)_j \neq 0\}$ とすれば、 $\dim R = s - a$ 、 $h_s = \dim_{\mathbb{k}}(\omega_R)_{-a}$ が成立する（例えば、[3, Section 4.4] を見よ）。さらに、常に $h_0 = 1$ であることも注意しておく。

h 多項式、及び h 列は、次数付き環において非常に重要な不变量であり、その次数付き環の様々な性質を反映させる。実際、Gorenstein 性や、その一般化である level([25])、almost Gorenstein([8])、nearly Gorenstein([12]) といった性質にも、 h 列が関わっていることが分かってきている。ここではこれらの概念の定義や詳しい解説はしないが、 h 列との関係性について、いくつか知られている事実を述べる：

- R が Gorenstein であることと、 h 列が対称的である（つまり、任意の $i = 1, \dots, s$ について、 $h_i = h_{s-i}$ が成立する）ことが同値である ([26])。特に、 R が Gorenstein なら、 $h_s = h_0 = 1$ である。

* koji-matsushita@g.ecc.u-tokyo.jp.ac

- R が level であることと, R の Cohen–Macaulay 型が h_s に等しいことは同値である ([27, 3.2 Proposition]). 特に, R が level なら, $h_s = 1$ であることと, R が Gorenstein であることは同値である.
- もし $s \geq 2$ であって, R が almost Gorenstein ならば, $h_s = 1$ ([13, Theorem 4.7]).
- もし R が nearly Gorenstein ならば, $h_s = 1$ であることと, R が Gorenstein であることは同値である ([18, Theorem 3.6]).

このように, h 列, 特に, h_s の値は非常に豊富な情報を持っていることが分かる. その中でも, “ h_s の値がいつ 1 になるか”は自然で重要な問い合わせになる. このことを背景にして, 論文 [5] から, $h_s = 1$ となる標準的次数付き環 R は **pseudo-Gorenstein** と呼ばれるようになった. 今日, 様々なクラスの標準的次数付き環の pseudo-Gorenstein 性が調べられている (例えば, [5, 22, 23, 19] など).

本講演では, エッジ環と呼ばれるグラフから生起する次数付き環の pseudo-Gorenstein 性に着目する.

2 エッジ環

以下, G は有限単純グラフとする. つまり, 頂点数や辺の本数が有限で, 多重辺やループは持たないと仮定する. また, $V(G) = [d] := \{1, \dots, d\}$ を G の頂点集合とし, $E(G)$ を G の辺集合とする. このとき,

$$\mathbb{k}[G] := \mathbb{k}[t_i t_j : \{i, j\} \in E(G)] \subset \mathbb{k}[t_1, \dots, t_d].$$

を G の **エッジ環** という. エッジ環は $\deg(t_i t_j) = 1$ として, 標準的次数付き環になる.

エッジ環は整域ではあるが, Cohen–Macaulay になると限らず, いつ Cohen–Macaulay になるのかの特徴づけはまだ与えられていない. しかし, 正規になるための必要十分条件は与えられており, これは G が奇サイクル条件を満たすことと同値である. ここで, G が奇サイクル条件を満たすとは, G の各連結成分において, その中の任意の 2 つの奇サイクルが, ある頂点を共有しているか, その 2 つの奇サイクルのある頂点同士が辺で結ばれているときにいう. 特に, G が 2 部グラフであれば, エッジ環は正規になる. エッジ環はアフィン半群環とみなせるので, 正規であれば Cohen–Macaulay となる ([16]). 本講演では, G は常に奇サイクル条件を満たすもののみを扱うこととする.

上の正規性の特徴づけは大杉–日比 ([20]) と Simis–Vasconcelos–Villarreal ([24]) によって, 同時期に, 独立に得られた. この論文以降, エッジ環の研究は急速に進み, h 列について多くの成果が得られている. 実際, 以下のクラスは h 列が計算されている, もしくは, 計算するための方法が与えられている:

- 完全グラフ, 及び, 完全 2 部グラフ ([29, Section 10.6]).
- 内部多項式を用いた, 一般の 2 部グラフのエッジ環の h 列を与える方法 ([17]).
- その他, 特定の形のグラフ ([7, 2, 15]).

さらに, エッジ環の Gorenstein 性, level 性, almost Gorenstein 性, nearly Gorenstein 性についても, いくつか成果が挙げられている ([21, 14, 15, 2, 10]). また, pseudo-Gorenstein 性についても, 2 部グラフにおいては, 内部多項式を用いて十分条件が与えられている ([9]).

本講演では、2部グラフのエッジ環の pseudo-Gorenstein 性の完全な特徴づけを与える。また、2部グラフでない奇サイクル条件を満たすグラフについても、ある程度成果を得ることが出来たので、それを紹介する。

3 2部グラフの pseudo-Gorenstein エッジ環

この節では、2部グラフのエッジ環の pseudo-Gorenstein 性について議論する。それにあたって、いくつかグラフ理論の言葉と事実が必要になるので、それを解説していく。

まず、グラフ G の耳分解について説明する。 G が (開) 耳分解を持つとは、 G が $G = P_0 \cup P_1 \cup \dots \cup P_r$ という形で書けるときという。ただし、 P_i は道グラフであって、 P_0 は長さ 1(ここでいう長さとは、辺の本数を指す) であり、 $i \geq 1$ については、 $(P_0 \cup P_1 \cup \dots \cup P_{i-1}) \cap P_i$ がちょうど P_i の両端点から成る。グラフ G が耳分解を持つことと G が 2連結であることは同値であることが知られている(例えば、[4, Proposition 3.1.1])。ここで、 G が 2連結^{*1}であるとは、 G のどの 1つの頂点を取り除いても、得られるグラフが連結であるときにいう。

G が耳分解を持つとする。耳分解は一意的でなく、色々な耳分解の取り方があるが、その中で、長さが偶数の道グラフの個数が最も小さいものを optimal な耳分解といい、そのときの長さが偶数の道グラフの個数を $\psi(G)$ と書く^{*2}。本講演ではこの $\psi(G)$ が重要な役割を果たす。

グラフ G が matching-covered であるとは、 G が連結であって、どの辺についても、それを含む完全マッチングが存在しているときにいう。2部グラフにおいては、matching-covered という性質は様々な性質と同値になる。実際、次が正しい:

定理 1 (cf. [1, Theorems 6.1.5 and 6.1.6]) G を、部集合分解 $V(G) = V_1 \sqcup V_2$ を持つ連結 2部グラフとする。このとき、次は同値である:

- (i) G が matching-covered である;
- (ii) $|V_1| = |V_2|$ であって、任意の空でない部分集合 $T \subsetneq V_1$ に対し、 $|N_G(T)| > |T|$ が成立する。ただし、 $N_G(T) := \{v \in [d] : \{v, w\} \in E(G) \text{ for some } w \in T\}$;
- (iii) G が 2連結で $\psi(G) = 0$.

次の定理が、我々の主結果において、最も重要な主張になる:

定理 2 ([6, Theorems 4.5 and 5.3], [28, Proposition 4.2]) G を 2連結な 2部グラフとし、 a を $\mathbb{k}[G]$ の a 不変量とする。このとき、

$$-a = \frac{\psi(G) + |V(G)|}{2}$$

が成立する。

^{*1} ここで述べている 2連結の定義は、一般的なものと少し違う、本来の定義はこの条件に加えて、“ $|V(G)| \geq 3$ ”という仮定が入るのが普通である。これはつまり、長さ 1 の道グラフは 2連結グラフとみなさないということであるが、本講演ではこれも 2連結と思いたいので、このように定義している。

^{*2} 我々の論文 [11] では、 $\phi(G)$ という記号を用いていて、 $\psi(G)$ とは少し定義が違う、 $\phi(G) = \psi(G) + 1$ という関係がある。諸事情でこのようにしているが、我々の主結果は変化しないので、あまり気にしないでいただきたい。

グラフ G の極大 2 連結成分を **ブロック** と呼ぶ.

命題 3 ([29, Proposition 10.1.48]) G を 2 部グラフとし, B_1, \dots, B_n をそのブロックとする. このとき, $\mathbb{k}[G] \cong \mathbb{k}[B_1] \otimes_{\mathbb{k}} \cdots \otimes_{\mathbb{k}} \mathbb{k}[B_n]$ が成立する.

上の命題より, $\mathbb{k}[G]$ の h_s が 1 であることと, 各ブロック B_i について, $\mathbb{k}[B_i]$ の h_s が 1 であることは同値である. 従って, 2 部グラフのエッジ環の pseudo-Gorenstein 性を調べるにあたっては, 2 連結を仮定してよい.

次が本講演の主定理である:

定理 4 G を 2 連結 2 部グラフとする. このとき, 次は同値である:

- (i) $\mathbb{k}[G]$ は pseudo-Gorenstein である;
- (ii) $\psi(G) = 0$;
- (iii) G は matching-covered である.

注意 5 上の定理の (ii) \Rightarrow (i) の部分は既に [9] で得られているが, これは内部多項式の理論を利用している. 一方, (ここでは省力するが) 我々の証明では内部多項式を一切利用していない.

我々の主定理から, 様々な系を得ることが出来る. グラフ G の部分グラフ H が $V(H) = V(G)$ を満たすとき, H を **全域部分グラフ** という.

系 6 G を 2 連結 2 部グラフとし, H を G の 2 連結な全域部分グラフとする. このとき, $\mathbb{k}[H]$ が pseudo-Gorenstein ならば, $\mathbb{k}[G]$ も pseudo-Gorenstein である.

特に, G がハミルトンサイクル (G の全ての頂点を通るサイクル) を持つならば, $\mathbb{k}[G]$ は pseudo-Gorenstein である.

グラフ G のどの頂点も同じ数の辺が接続しているとき, G を **正則グラフ** と呼ぶ.

系 7 G を連結な正則 2 部グラフであるとする. このとき, $\mathbb{k}[G]$ は pseudo-Gorenstein である.

ここまで, pseudo-Gorenstein になるための十分条件を与えてきたが, 以下の簡単な必要条件を与えることが出来る:

系 8 G を, 部集合 $V(G) = V_1 \sqcup V_2$ を持つ 2 連結 2 部グラフとする. このとき, $\mathbb{k}[G]$ が pseudo-Gorenstein ならば, $|V_1| = |V_2|$ である. 特に, $|V(G)|$ は偶数である.

ここまで的事実たちをまとめると, 以下の図式が得られる:

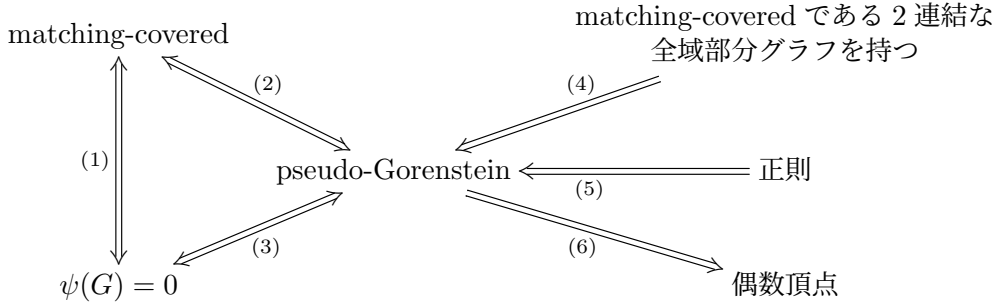


図 1 2 連結 2 部グラフ G に対して成立する包含関係

4 非 2 部グラフの pseudo-Gorenstein エッジ環

2 部グラフの場合は完全な特徴づけが与えられたが、2 部グラフでない場合は非常に難しい問題になる。実際、上の図 1 の包含関係はほとんど満たさなくなる。

以下に、奇サイクル条件を満たし、2 連結を仮定しても反例が存在することを述べる：

例 9 (i) H_1 を $V(H_1) = \{1, 2, 3, 4\}$, $E(H_1) = \{\{1, 2\}, \{2, 3\}, \{3, 4\}, \{1, 4\}, \{1, 3\}\}$ であるグラフとする（図 2）。このグラフは matching-covered ではないが、 h 多項式は $1 + t$ となるので、“pseudo-Gorenstein \implies matching-covered” の反例である。

(ii) H_2 を $V(H_2) = \{1, 2, 3, 4, 5, 6, 7\}$,

$$E(H_2) = \{\{1, 2\}, \{2, 3\}, \{3, 4\}, \{4, 5\}, \{1, 5\}, \{1, 6\}, \{3, 6\}, \{3, 7\}, \{5, 7\}\}$$

であるグラフとする（図 3）。このとき、 $\psi(H_2) = 1$ で、 $|V(H_2)|$ は奇数であり、 h 多項式は $1 + 2t + t^2$ となる。これは “pseudo-Gorenstein \implies $\psi(G) = 0$ ” と “pseudo-Gorenstein \implies 偶数頂点” の反例になっている。

(iii) H_3 を $V(H_3) = \{1, 2, 3, 4, 5, 6\}$,

$$E(H_3) = \{\{1, 2\}, \{2, 3\}, \{3, 4\}, \{4, 5\}, \{5, 6\}, \{1, 6\}, \{1, 3\}, \{3, 5\}, \{3, 6\}\}$$

であるグラフとする（図 4）。このグラフは偶数長のハミルトンサイクルを持ち、 $\psi(H_3) = 0$ で、 h 多項式は $1 + 3t + 3t^2$ である。従って、これは “ $\psi(G) = 0 \implies$ pseudo-Gorenstein” と “matching-covered である 2 連結な全域部分グラフを持つ \implies pseudo-Gorenstein” の反例である。

(iv) 5 頂点完全グラフ K_5 を考える。これは正則グラフである一方、 h 多項式は $1 + 5t + 5t^2$ である。これは “正則 \implies pseudo-Gorenstein” の反例である。

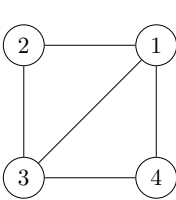


図 2 グラフ H_1

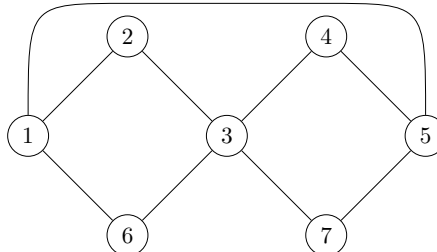


図 3 グラフ H_2

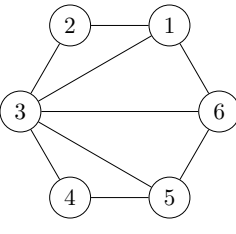


図 4 グラフ H_3

このように、図 1 にある包含関係のほとんどが成立しないことが分かる。ただ、適当な仮定を加えるなどすると、十分条件を与えることが出来る。次の 2 つが非 2 部グラフにおける我々の主結果である：

定理 10 G を奇サイクル条件を満たす連結グラフとする。このとき、 G が matching-covered であるならば、 $\mathbb{k}[G]$ は pseudo-Gorenstein である。

定理 11 G を奇サイクル条件を満たす連結グラフとする。このとき、 G が偶数頂点正則グラフならば、 $\mathbb{k}[G]$ は pseudo-Gorenstein である。

参考文献

- [1] Armen S Asratian, Tristan MJ Denley, and Roland Häggkvist. *Bipartite graphs and their applications*, volume 131. Cambridge university press, 1998.
- [2] Kieran Bhaskara, Akihiro Higashitani, and Nayana Shibu Deepthi. *h-vectors of edge rings of odd-cycle compositions*. *arXiv:2311.13573*.
- [3] W. Bruns and J. Herzog. *Cohen–Macaulay rings*. Number 39. Cambridge university press, 1998.
- [4] Reinhard Diestel. *Graph theory, Fifth edition*, volume 173. Springer, 2017.
- [5] Viviana Ene, Jürgen Herzog, Takayuki Hibi, and Sara Saeedi Madani. Pseudo-Gorenstein and level hibi rings. *Journal of Algebra*, 431:138–161, 2015.
- [6] András Frank. Conservative weightings and ear-decompositions of graphs. *Combinatorica*, 13:65–81, 1993.
- [7] Federico Galetto, Johannes Hofscheier, Graham Keiper, Craig Kohne, Adam Van Tuyl, and Miguel Eduardo Uribe Paczka. Betti numbers of toric ideals of graphs: a case study. *Journal of Algebra and its Applications*, 18(12):1950226, 2019.
- [8] Shiro Goto, Ryo Takahashi, and Naoki Taniguchi. Almost Gorenstein rings—towards a theory of higher dimension. *Journal of pure and applied algebra*, 219(7):2666–2712, 2015.
- [9] Xiaxia Guan and Xian'an Jin. On coefficients of the interior and exterior polynomials. *arXiv:2201.12531*.
- [10] Thomas Hall, Max Kölbl, Koji Matsushita, and Sora Miyashita. Nearly Gorenstein polytopes. *Electron. J. Combin.*, 30(4):Paper No. 4.42, 21, 2023.

- [11] Yuta Hatasa, Nobukazu Kowaki, and Koji Matsushita. Pseudo-gorenstein edge rings and a new family of almost gorenstein edge rings. *Communications in Algebra*, 54(1):124–138, 2026.
- [12] Jürgen Herzog, Takayuki Hibi, and Dumitru I Stamate. The trace of the canonical module. *Israel Journal of Mathematics*, 233:133–165, 2019.
- [13] Akihiro Higashitani. Almost Gorenstein homogeneous rings and their h-vectors. *Journal of Algebra*, 456:190–206, 2016.
- [14] Akihiro Higashitani and Koji Matsushita. Levelness versus almost Gorensteinness of edge rings of complete multipartite graphs. *Communications in Algebra*, 50(6):2637–2652, 2022.
- [15] Akihiro Higashitani and Nayana Shibu Deepthi. The h-vectors of the edge rings of a special family of graphs. *Communications in Algebra*, 51(12):5287–5296, 2023.
- [16] M. Hochster. Rings of invariants of tori, Cohen-Macaulay rings generated by monomials, and polytopes. *Ann. of Math. (2)*, 96:318–337, 1972.
- [17] Tamás Kálmán and Alexander Postnikov. Root polytopes, tutte polynomials, and a duality theorem for bipartite graphs. *Proceedings of the London Mathematical Society*, 114(3):561–588, 2017.
- [18] Sora Miyashita. Levelness versus nearly Gorensteinness of homogeneous rings. *Journal of Pure and Applied Algebra*, 228(4):107553, 2024.
- [19] Sora Miyashita. When do pseudo-gorenstein rings become gorenstein? *Bulletin of the London Mathematical Society*, 2025.
- [20] Hidefumi Ohsugi and Takayuki Hibi. Normal polytopes arising from finite graphs. *Journal of Algebra*, 207(2):409–426, 1998.
- [21] Hidefumi Ohsugi and Takayuki Hibi. Special simplices and Gorenstein toric rings. *J. Combin. Theory Ser. A*, 113:718–725, 2006.
- [22] Giancarlo Rinaldo, Francesco Romeo, and Rajib Sarkar. Level and pseudo-Gorenstein path polyominoes. *arXiv:2308.05461*.
- [23] Giancarlo Rinaldo and Rajib Sarkar. Level and pseudo-Gorenstein binomial edge ideals. *Journal of Algebra*, 632:363–383, 2023.
- [24] Aron Simis, Wolmer V Vasconcelos, and Rafael H Villarreal. The integral closure of subrings associated to graphs. *Journal of Algebra*, 199(1):281–289, 1998.
- [25] Richard P. Stanley. Cohen-Macaulay complexes. In *Higher combinatorics (Proc. NATO Advanced Study Inst., Berlin, 1976)*, volume 31 of *NATO Adv. Study Inst. Ser. C: Math. Phys. Sci.*, pages 51–62. Reidel, Dordrecht-Boston, Mass., 1977.
- [26] Richard P. Stanley. Hilbert functions of graded algebras. *Advances in Math.*, 28(1):57–83, 1978.
- [27] Richard P. Stanley. *Combinatorics and commutative algebra*, volume 41 of *Progress in Mathematics*. Birkhäuser Boston, Inc., Boston, MA, second edition, 1996.
- [28] Carlos E Valencia and Rafael H Villarreal. Canonical modules of certain edge subrings.

European Journal of Combinatorics, 24(5):471–487, 2003.

- [29] Rafael H. Villarreal. *Monomial algebras*. Monographs and Research Notes in Mathematics. CRC Press, Boca Raton, FL, second edition, 2015.